

FIG. 1

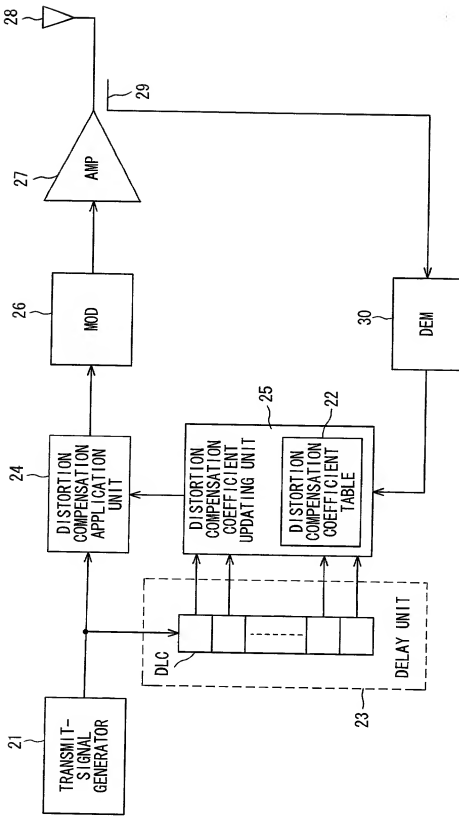


Fig. 2

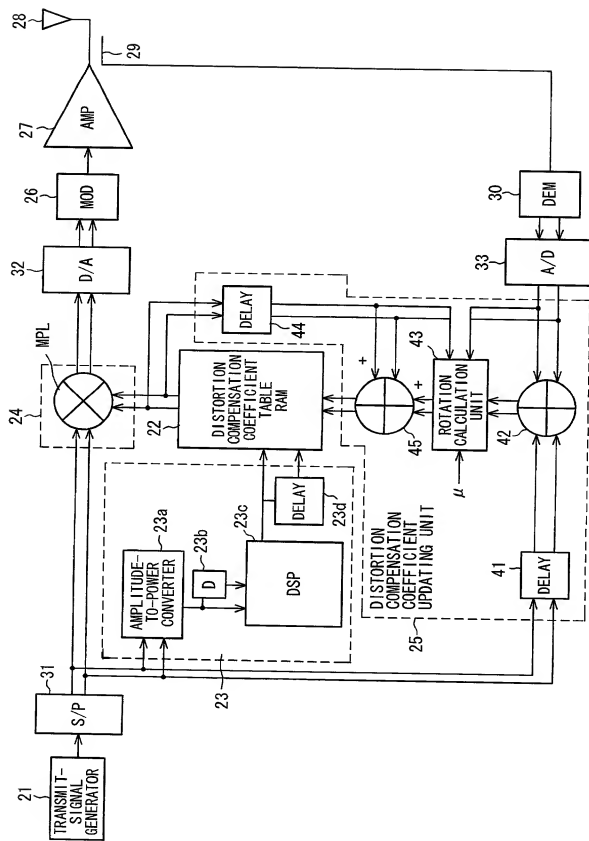
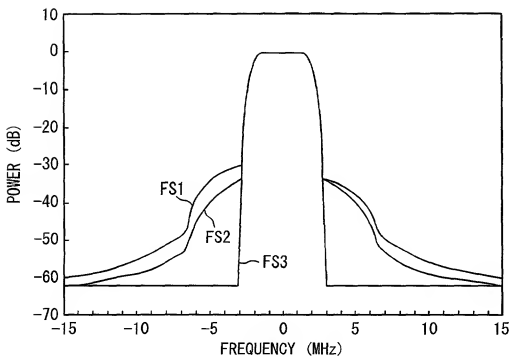


FIG. 3

$P(t)$	ΔP	$h(P(t), \Delta P)$
P_1	ΔP_1	$h(P_1, \Delta P_1)$
	ΔP_2	$h(P_1, \Delta P_2)$
	ΔP_3	$h(P_1, \Delta P_3)$
	\vdots	\vdots
	ΔP_n	$h(P_1, \Delta P_n)$
P_2	ΔP_1	$h(P_2, \Delta P_1)$
	ΔP_2	$h(P_2, \Delta P_2)$
	ΔP_3	$h(P_2, \Delta P_3)$
	\vdots	\vdots
	ΔP_n	$h(P_2, \Delta P_n)$
P_3		
\vdots	\vdots	\vdots
P_m	ΔP_1	$h(P_m, \Delta P_1)$
	ΔP_2	$h(P_m, \Delta P_2)$
	ΔP_3	$h(P_m, \Delta P_3)$
	\vdots	\vdots
	ΔP_n	$h(P_m, \Delta P_n)$

FIG. 4***FIG. 5***

ITEM	SPECIFICATIONS
CHIP RATE	4.096 Mbps
CARRIER RATE	64 kbps
NUMBER OF MULTIPLEXED SIGNALS	60 CODES
PEAK SUPPRESSION	13.5 CODES
CHIP SHAPING FILTER	ROUTE NYQUIST ($\alpha=0.22$)

5/25

FIG. 6

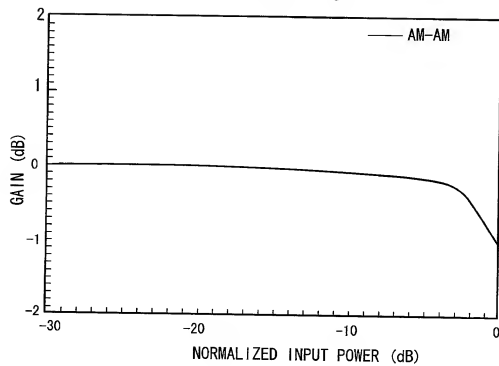


FIG. 7

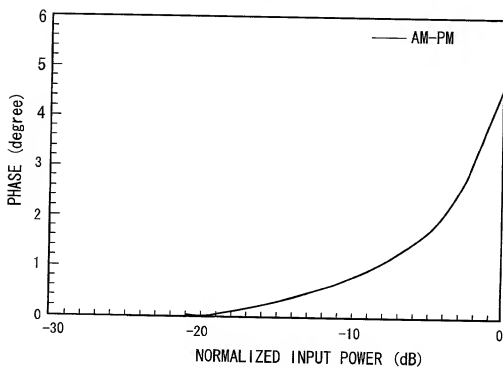


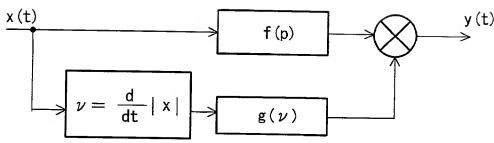
FIG. 8

FIG. 9

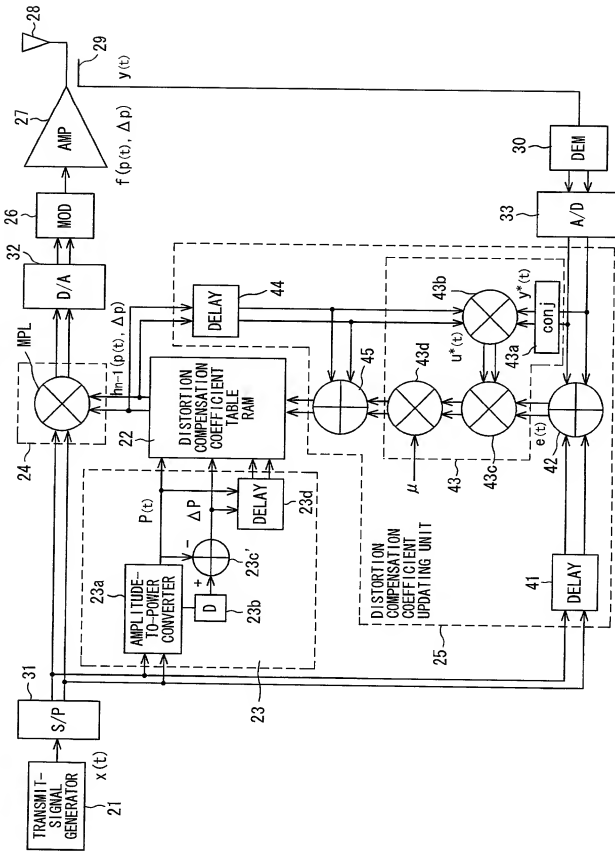


FIG. 10

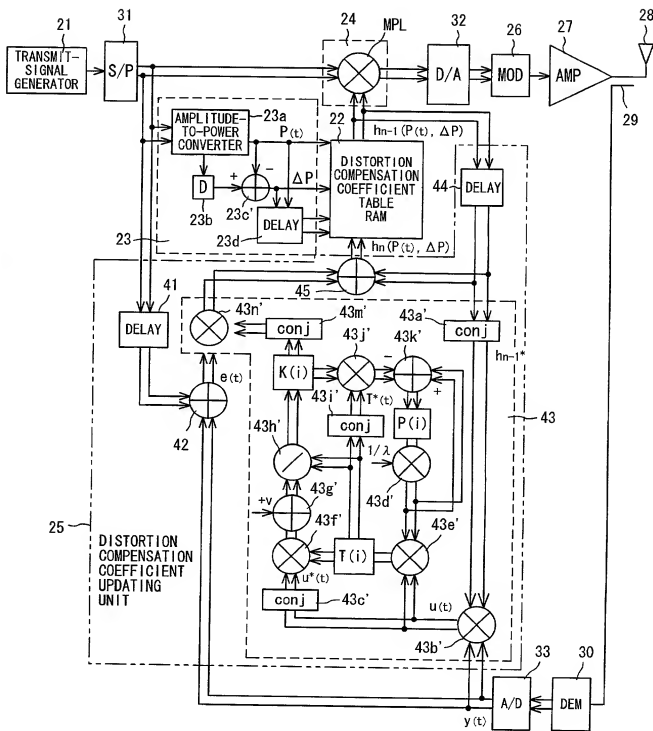


FIG. 11

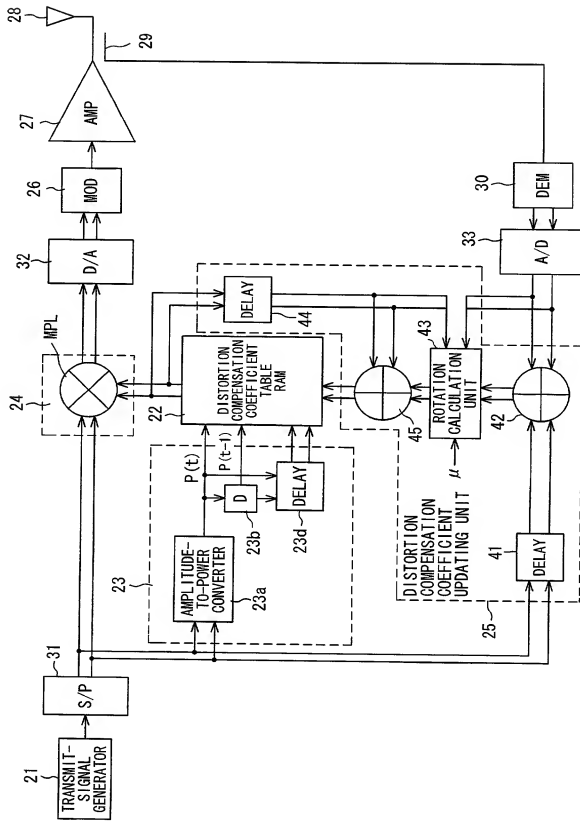


FIG. 12

$P(t)$	$P(t-1)$	$h(P(t), P(t-1))$
P_1	P_1	$h(P_1, P_1)$
	P_2	$h(P_1, P_2)$
	P_3	$h(P_1, P_3)$
	\vdots	\vdots
	P_n	$h(P_1, P_n)$
P_2	P_1	$h(P_2, P_1)$
	P_2	$h(P_2, P_2)$
	P_3	$h(P_2, P_3)$
	\vdots	\vdots
	P_n	$h(P_2, P_n)$
P_3	\vdots	\vdots
P_m	P_1	$h(P_m, P_1)$
	P_2	$h(P_m, P_2)$
	P_3	$h(P_m, P_3)$
	\vdots	\vdots
	P_n	$h(P_m, P_n)$

FIG. 13

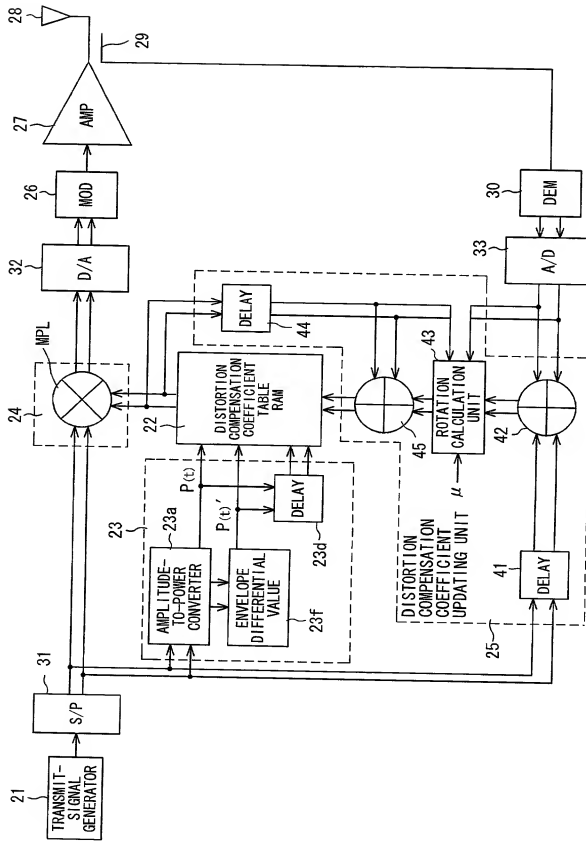


FIG. 14

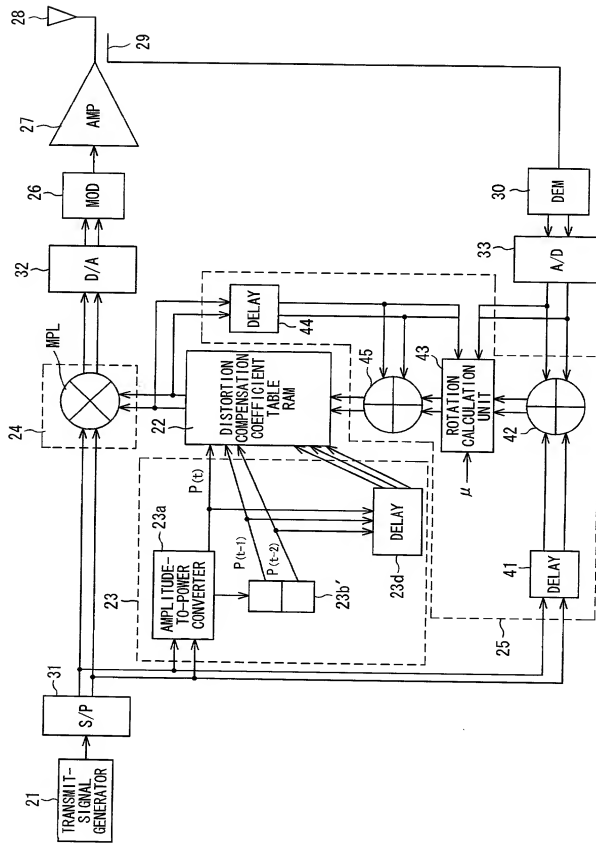


FIG. 15

$P(t)$	$P(t-1)$	$P(t-2)$	$h(P(t), P(t-1), P(t-2))$
P_1	P_1	P_1	$h(P_1, P_1, P_1)$
		P_2	$h(P_1, P_1, P_2)$
		\vdots	\vdots
	P_2	P_n	$h(P_1, P_1, P_n)$
		P_1	$h(P_1, P_2, P_1)$
		P_2	$h(P_1, P_1, P_2)$
		\vdots	\vdots
	P_n	P_n	$h(P_1, P_2, P_n)$
		P_1	$h(P_1, P_n, P_1)$
P_2	P_1	P_2	$h(P_1, P_n, P_2)$
		\vdots	\vdots
		P_n	$h(P_1, P_n, P_n)$
	P_1	P_1	$h(P_2, P_1, P_1)$
		P_2	$h(P_2, P_1, P_2)$
		\vdots	\vdots
	P_2	P_n	$h(P_2, P_1, P_n)$
		\vdots	\vdots
		\vdots	\vdots
P_m			

FIG. 16

14/25

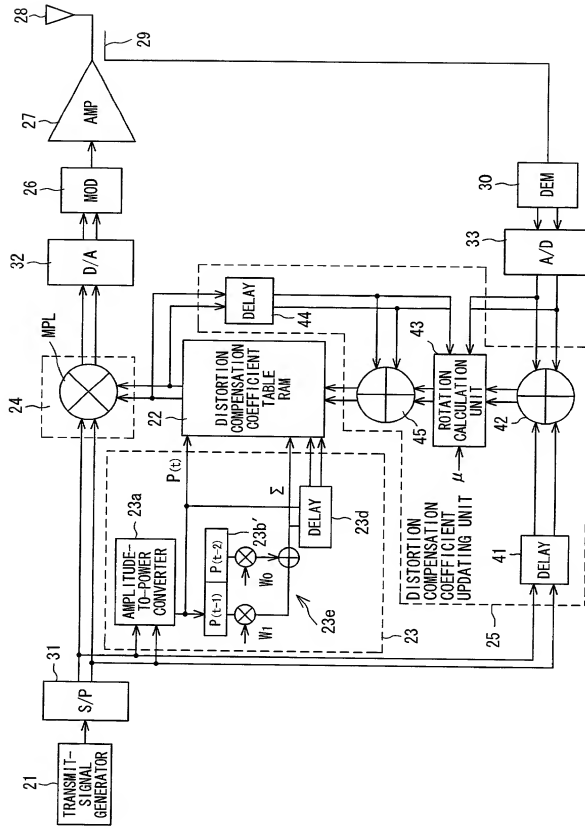


FIG. 17

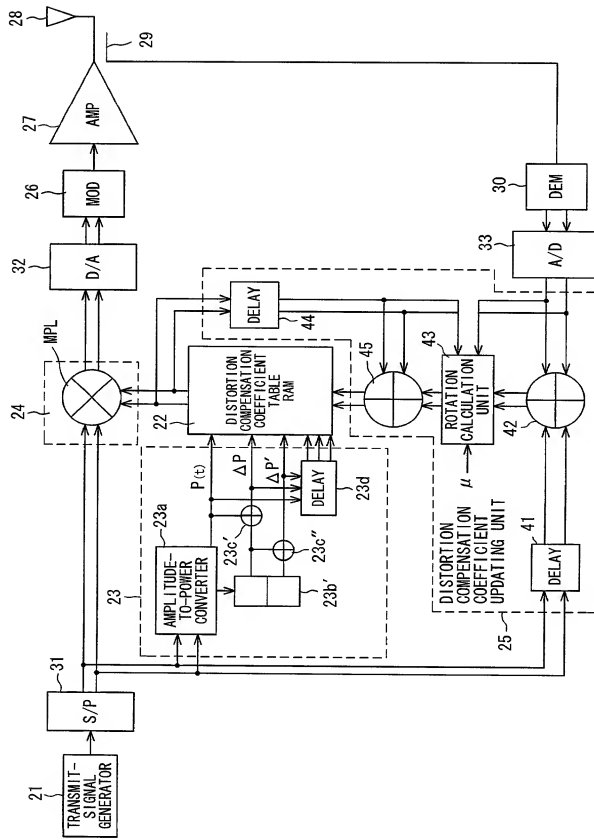


FIG. 18

$P(t)$	ΔP	$\Delta P'$	$h(P(t), \Delta P, \Delta P')$
P_1	ΔP_1	ΔP_1	$h(P_1, \Delta P_1, \Delta P_1)$
		ΔP_2	$h(P_1, \Delta P_1, \Delta P_2)$
		\vdots	\vdots
		ΔP_n	$h(P_1, \Delta P_1, \Delta P_n)$
	ΔP_2	ΔP_1	$h(P_1, \Delta P_2, \Delta P_1)$
		ΔP_2	$h(P_1, \Delta P_2, \Delta P_2)$
		\vdots	\vdots
		ΔP_n	$h(P_1, \Delta P_2, \Delta P_n)$
	\vdots	\vdots	\vdots
P_2	ΔP_n	ΔP_1	$h(P_1, \Delta P_n, \Delta P_1)$
		ΔP_2	$h(P_1, \Delta P_n, \Delta P_2)$
		\vdots	\vdots
		ΔP_n	$h(P_1, \Delta P_n, \Delta P_n)$
	ΔP_1	ΔP_1	$h(P_2, \Delta P_1, \Delta P_1)$
		ΔP_2	$h(P_2, \Delta P_1, \Delta P_2)$
		\vdots	\vdots
		ΔP_n	$h(P_2, \Delta P_1, \Delta P_n)$
\vdots	ΔP_2	\vdots	\vdots
		\vdots	\vdots
		\vdots	\vdots
P_m			

FIG. 19

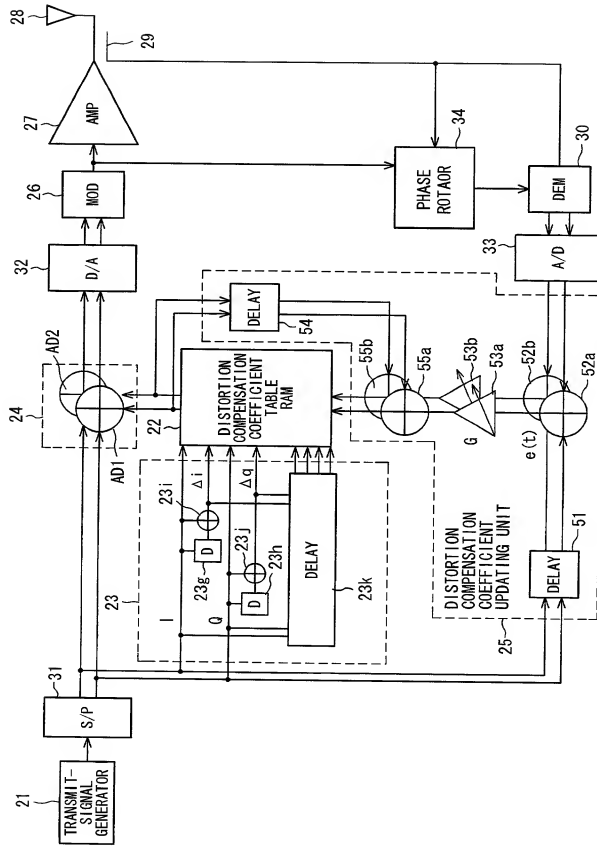


FIG. 20

(a)

$I(t)$	Δi	$hi(I(t), \Delta i)$
I_1	Δi_1	$hi(I_1, \Delta i_1)$
	Δi_2	$hi(I_1, \Delta i_2)$
	Δi_3	$hi(I_1, \Delta i_3)$
	\vdots	\vdots
	Δi_n	$hi(I_1, \Delta i_n)$
I_2	Δi_1	$hi(I_2, \Delta i_1)$
	Δi_2	$hi(I_2, \Delta i_2)$
	Δi_3	$hi(I_2, \Delta i_3)$
	\vdots	\vdots
	Δi_n	$hi(I_2, \Delta i_n)$
I_3	\vdots	\vdots
\vdots	\vdots	\vdots
I_m	Δi_1	$hi(I_m, \Delta i_1)$
	Δi_2	$hi(I_m, \Delta i_2)$
	Δi_3	$hi(I_m, \Delta i_3)$
	\vdots	\vdots
	Δi_n	$hi(I_m, \Delta i_n)$

(b)

$Q(t)$	Δq	$hq(Q(t), \Delta q)$
Q_1	Δq_1	$hq(Q_1, \Delta q_1)$
	Δq_2	$hq(Q_1, \Delta q_2)$
	Δq_3	$hq(Q_1, \Delta q_3)$
	\vdots	\vdots
	Δq_n	$hq(Q_1, \Delta q_n)$
Q_2	Δq_1	$hq(Q_2, \Delta q_1)$
	Δq_2	$hq(Q_2, \Delta q_2)$
	Δq_3	$hq(Q_2, \Delta q_3)$
	\vdots	\vdots
	Δq_n	$hq(Q_2, \Delta q_n)$
Q_3	\vdots	\vdots
\vdots	\vdots	\vdots
Q_m	Δq_1	$hq(Q_m, \Delta q_1)$
	Δq_2	$hq(Q_m, \Delta q_2)$
	Δq_3	$hq(Q_m, \Delta q_3)$
	\vdots	\vdots
	Δq_n	$hq(Q_m, \Delta q_n)$

FIG. 21

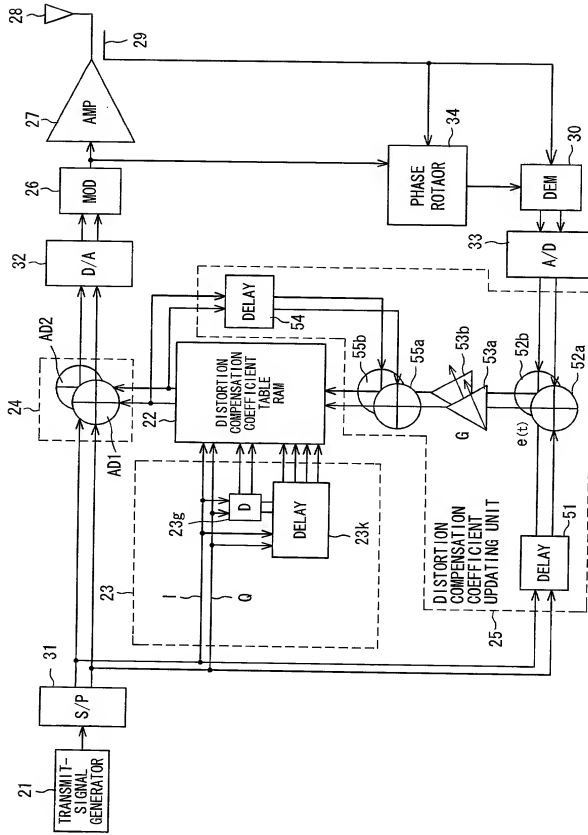


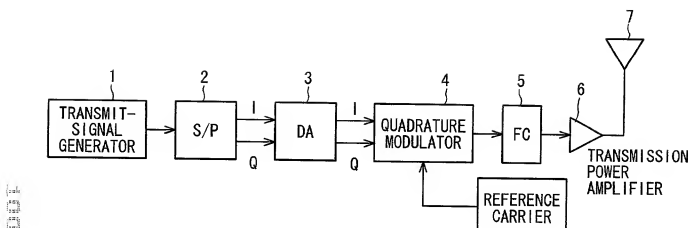
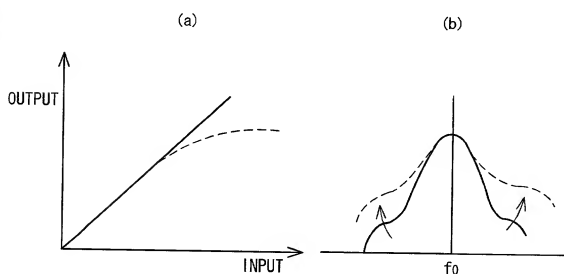
FIG. 22**FIG. 23**

FIG. 24

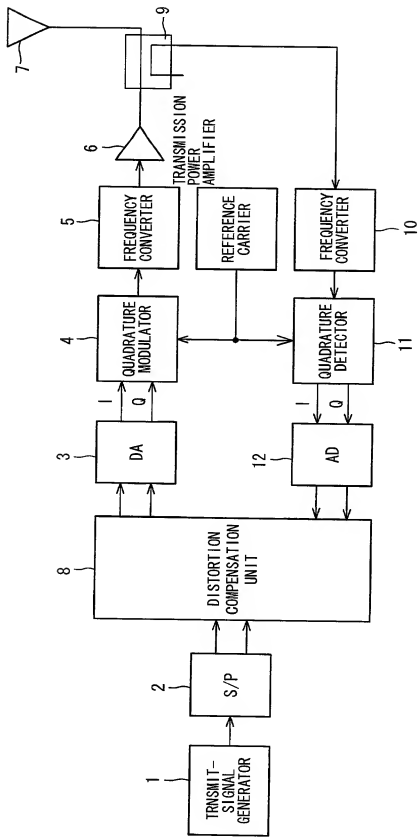


FIG. 25

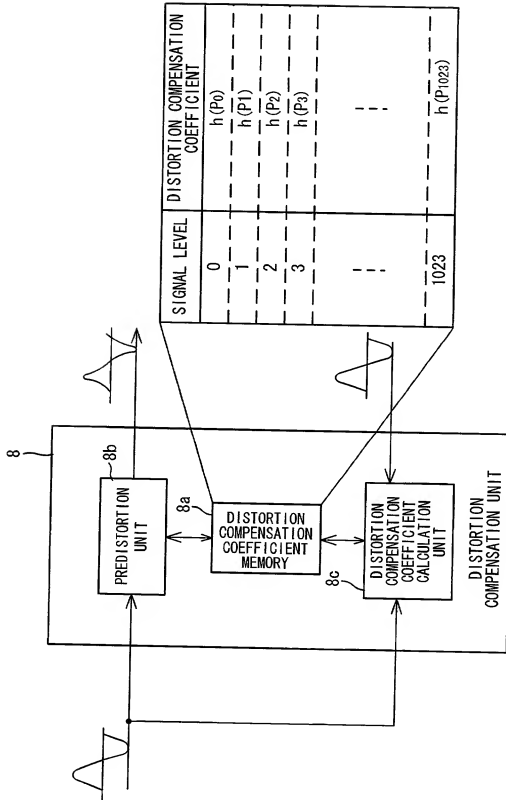


FIG. 26

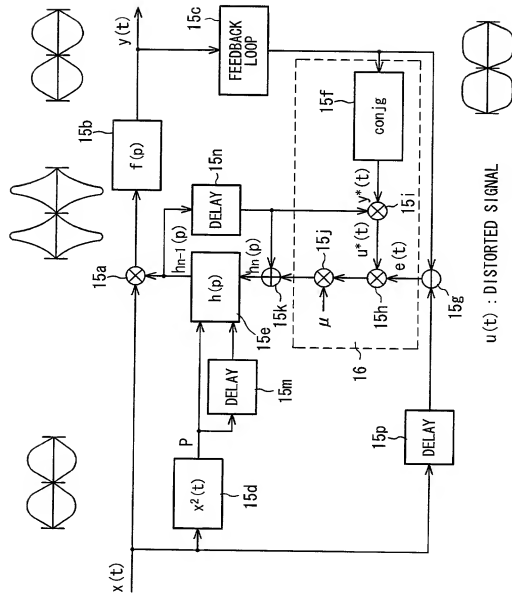
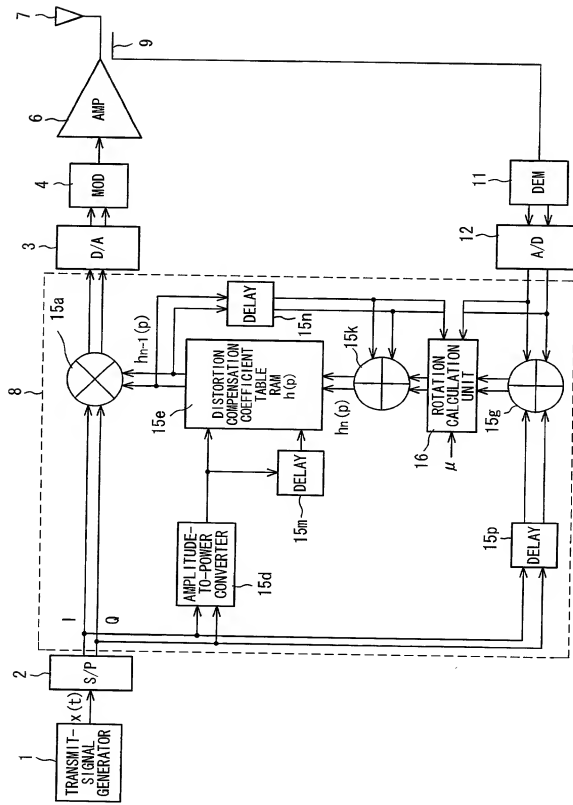


Fig. 27



25/25

FIG. 28

